

УДК 539.0 : 539.1

**ВЛИЯНИЕ СМЕШИВАНИЯ ЭКСИТОННЫХ
И ИОНИЗИРОВАННЫХ СОСТОЯНИЙ
НА СПЕКТРЫ ПОГЛОЩЕНИЯ
И ФОТОПРОВОДИМОСТИ КРИСТАЛЛОВ ПЕНТАЦЕНА**

Ю. П. Пирятинский

В интервале температур 4.2—300 К измерены спектры поглощения и фотопроводимости монокристаллов пентацина в естественном и поляризованном свете. Показано, что измеренные спектры удовлетворительно объясняются исходя из теоретических представлений о смешивании нейтральных и ионизированных состояний. Переходы в ионизированные состояния наблюдаются за счет заимствования силы осциллятора у сильных экстонных переходов. Рассмотрено влияние локальных электрических полей на смешивание нейтральных и ионизированных состояний.

Для органических молекулярных кристаллов собственные процессы фотогенерации свободных носителей заряда (НЗ) происходят через промежуточное ионизированное экстонное состояние с переносом заряда (ПЗ), представляющее собой связанную кулоновским полем на ближайших узлах решетки электрон-дырочную пару. Одним из критериев образования ПЗ состояний считается полевая зависимость квантового выхода фотогенерации НЗ по механизму Онзагера [1-4].

Сам механизм оптического возбуждения ПЗ состояний в однокомпонентных молекулярных кристаллах антраценового типа изучен слабо. Наиболее часто рассматривается модель автоионизации нейтральных молекулярных возбуждений [3, 4]. В последнее время для таких молекулярных кристаллов, как тетрацен и пентацин, предпочтение отдается прямому оптическому возбуждению ПЗ состояний [5-11]. В [10-12] показано, что симметрия кристаллов подобного типа допускает кристаллическое смешивание нижайших ионизированных состояний с нейтральными экстонными состояниями типа Френеля (ЭФ), имеющими одинаковую величину волнового вектора. Наиболее важным здесь является то, что вследствие смешивания состояний запрещенные правилами отбора ПЗ переходы заимствуют некоторую силу осциллятора у сильных ЭФ переходов и становятся оптически наблюдаемыми. В этой модели как сам спектр возбужденных состояний, так и сила осциллятора ПЗ перехода зависят от интенсивности и энергетического положения высших возбужденных состояний. На величину смешивания состояний наиболее существенное влияние чаще всего оказывает взаимодействие со вторым и третьим электронными переходами, а также с внутримолекулярными колебаниями. Кроме того, на величину смешивания состояний можно оказывать существенное влияние через внешние электрические поля [5-8].

В отличие от кристаллов антрацена, у которых интенсивность ПЗ переходов слабая [9] и они маскируются на фоне сильных электронно-колебательных ЭФ переходов, для кристаллов пентацина (ПЦ) уже в основном состоянии из-за больших размеров π -электронной системы имеется тенденция к переносу электрона на соседнюю молекулу и она существенно возрастает в возбужденном состоянии. Теоретические расчеты [10] показывают, что для кристаллов ПЦ вследствие смешивания ПЗ состояний

только лишь с первым и третьим электронными переходами интенсивность ПЗ переходов в спектре поглощения становится преобладающей и их можно изучать методами обычной спектроскопии.

Для выяснения вклада ПЗ состояний в электронные переходы и их роли в фотогенерации НЗ изучены низкотемпературные спектры поглощения и возбуждения фотопроводимости ФП монокристаллов ПЦ, которые затем сравниваются с имеющимися в литературе теоретическими расчетами спектра возбужденных состояний ПЦ [10-13]. Рассмотрено влияние локальных электрических полей зарядов на спектры ФП и смешивание ЭФ и ПЗ состояний.

Результаты эксперимента и их обсуждение

1) Спектры поглощения монокристаллов ПЦ. Исследование спектров поглощения и ФП проведены на монокристаллах, выращенных методом сублимации в инертной атмосфере из ПЦ, очищенного многократной перекристаллизацией. Монокристаллы ПЦ имели хорошо развитую $\{ab\}$ плоскость и их толщина была порядка $d = 0.3 \pm 50$ мкм.

Спектры поглощения измерялись при нормальном падении света на $\{ab\}$ плоскость кристалла естественного или линейно-поляризованного света для a - и b -поляризаций. Измерения проведены на автоматизированном спектральном комплексе КСВУ-6.

При измерениях спектров поглощения в поляризованном свете кристалл помещался между двумя скрещенными поляризаторами и ориентировался на нулевой сигнал по прошедшему свету в области прозрачности ПЦ. После этого поляризаторы выставлялись для измерения спек-

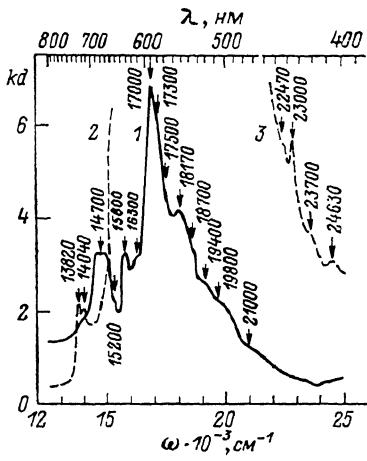


Рис. 1. Спектры поглощения тонкого (1) $d = 0.3$ мкм, посаженного на оптический контакт с кварцевой подложкой, и толстого (2, 3) $d = 2$ мкм, «свободно» закрепленного кристаллов ПЦ, измеренные в естественном свете при 4.2 К.

тров поглощения света, поляризованного параллельно, а затем и перпендикулярно к b -оси кристалла (b - и a -поляризации соответственно). На рис. 1, 2 приведены спектры поглощения тонкого ($d = 0.3$ мкм), находящегося на оптическом контакте с кварцевой подложкой, и толстого, «свободно» закрепленного, монокристаллов ПЦ, измеренных при 4.2 К в естественном и поляризованном свете.

В спектрах поглощения тонкого кристалла ПЦ, измеренных в естественном свете, в области первого S_1 электронного перехода (симметрия 1L_a) при 4.2 К можно выделить полосы с максимумами при $14\ 700$, $15\ 800$, $17\ 000$, $18\ 170$, $19\ 400$ cm^{-1} (рис. 1, кривая 1), а при 300 К — $14\ 800$, $15\ 880$, $17\ 100$, $18\ 300$ и $19\ 500$ cm^{-1} (рис. 3, кривая 4). Видно, что максимумы полос поглощения при 4.2 К смещены в длинноволновую сторону примерно на 100 — 150 cm^{-1} по сравнению с их положением при 300 К.

В спектрах поглощения тонкого кристалла, измеренных при 4.2 К в поляризованном свете (рис. 2, кривые 1, 2), наблюдается тонкая структура. Наиболее интенсивные полосы спектра имеют максимумы при $14\ 700$, $16\ 300$, $16\ 750$, $17\ 040$, $17\ 240$, $17\ 400$, $18\ 050$, $18\ 260$, $18\ 750$, $19\ 000$, $19\ 250$, $19\ 600$, $20\ 000$, $21\ 600$, $22\ 100$, $23\ 200$, $24\ 300$ и $26\ 300$ cm^{-1} для b -поляризации и $15\ 820$, $17\ 040$, $17\ 400$, $17\ 700$, $18\ 500$, $19\ 100$, $19\ 750$, $21\ 100$ cm^{-1} для a -поляризации. Полосу $23\ 200$ cm^{-1} можно отнести к началу перехода в S_2 -состояние. Кроме того, в спектре поглощения для

b-поляризации наблюдается интенсивная полоса 27 700 см⁻¹, которую можно связать с переходом в S_3 -состояние. Коэффициент поглощения в максимуме наиболее интенсивной чисто электронной полосы 14 700 см⁻¹ *b*-компоненты спектра S_1 -перехода при 4.2 К порядка $2.2 \cdot 10^5$ см⁻¹, центр тяжести этой полосы находится при 14 750 см⁻¹. Сила осциллятора перехода, вычисленная по формуле [3]

$$f = (4.39 \cdot 10^{-9} / n_0) \int K(\omega) d\omega,$$

где n_0 — показатель преломления среды, ω — волновое число в см⁻¹, для чисто электронных переходов *b*- и *a*-поляризаций соответственно

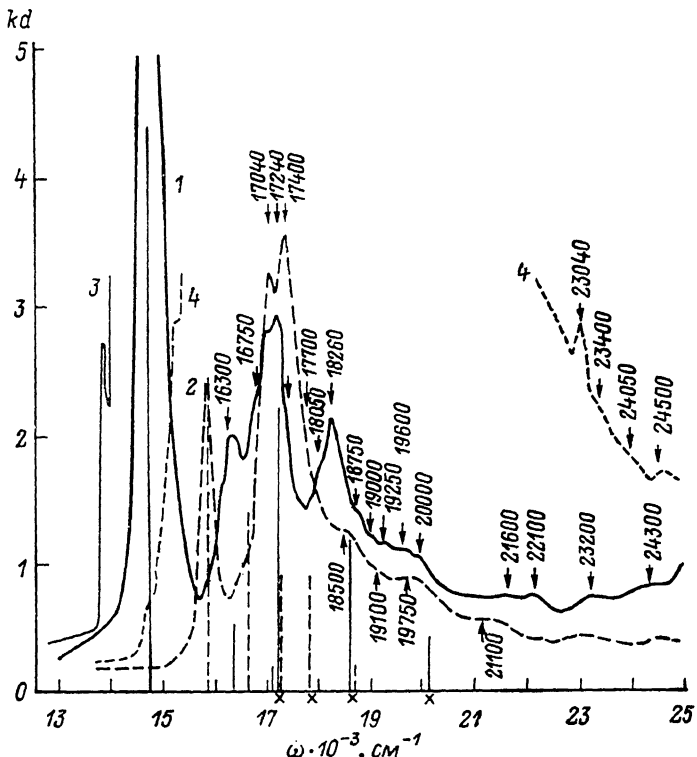


Рис. 2. Спектры поглощения тонкого (1, 2) $d=0.3$ мкм, посаженного на оптический контакт с кварцевой подложкой, и толстого (3, 4) $d=1$ мкм кристаллов ПЦ, измеренные в поляризованном свете.

1, 3 — *b*-поляризация ($E \parallel b$); 2, 4 — *a*-поляризация ($E \perp b$). $T=4.2$ К.

составляет $f_b(0-0)=0.26$, $f_a(0-0)=0.05$. Для вибронного перехода 16 300 см⁻¹ $f_b(0-1)=0.1$. Поляризационное отношение интенсивностей чисто электронных переходов близко к 5.2, величина резонансного расщепления составляет 1120 см⁻¹.

Из рис. 1, 1 видно, что коэффициент поглощения в максимуме полосы 14 700 см⁻¹ при измерениях в естественном свете значительно меньше, чем при измерениях в поляризованном свете. Это можно объяснить тем, что вследствие большой величины резонансного расщепления полоса 14 700 см⁻¹ при измерениях в естественном свете попадает в область слабого поглощения *a*-компоненты спектра и «засвечивается» ею.

Теоретические расчеты [13] значений энергий и интенсивностей ЭФ переходов в $\{ab\}$ плоскости показывают, что вклад неэквивалентных взаимодействий в величину наблюдавшегося резонансного расщепления S_1 -перехода в 1L_a состоянии мал и оно полностью определяется кристаллическим смешиванием с более высоколежащими ЭФ переходами. В табл. 1 представлены результаты расчета [13] значений энергий и интенсивностей

переходов по методу молекулярных орбиталей для модели с десятью состояниями, которые дают наилучшее согласие с экспериментальными результатами. Из этой таблицы видно, что из-за триклинической структуры кристаллов ПЦ [13] электронные переходы в них необязательно должны быть строго поляризованы вдоль b - и a -осей кристалла.

Из рис. 2, 1, 2 видно, что в спектре поглощения выше 17 000 см⁻¹ наблюдается ряд полос, интенсивность которых значительно больше рассчитанных и которые нельзя сопоставить с вибровенным спектром ЭФ состояний. Исследование [9] модулированных электрическим полем спектров поглощения аморфных пленок ПЦ показало, что структура спектра

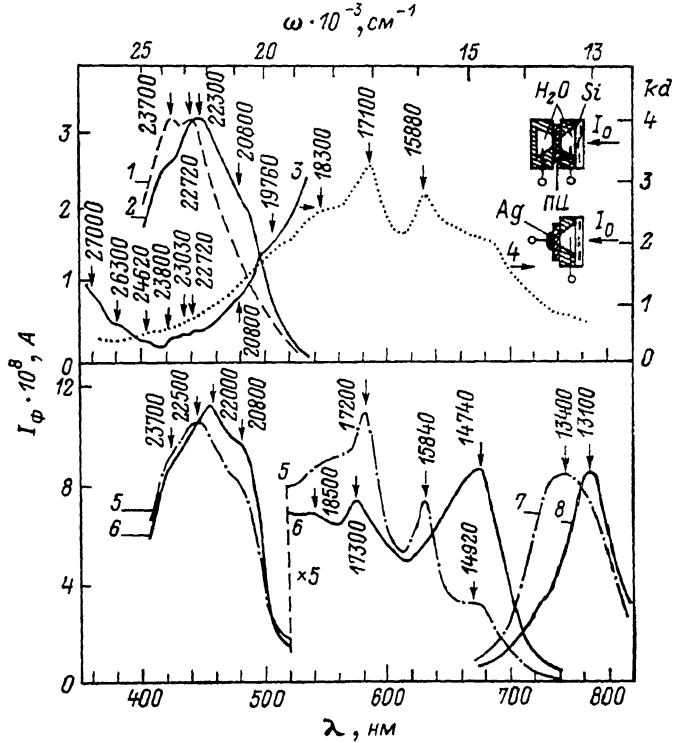


Рис. 3. Спектры возбуждения ФП (1–2, 5–8) и поглощения (3, 4) кристаллов ПЦ при 300 К, измеренные в естественном (1–4) и поляризованном (5–8) свете.

Ячейка H_2O –ПЦ– H_2O ($d=45 \mu\text{м}$, $F \parallel c'$): 1 — J_{\pm} , $U=45$ В; 2 — J_+ , 110 В. Ячейка H_2O –ПЦ–Ag ($d=45 \mu\text{м}$, $F \parallel c'$, освещение со стороны H_2O электрода): 5 — J_+ , 450 В, $E \perp b$; 6 — J_+ , 450 В, $E \parallel b$; 7 — J_- , 90 В, $E \perp b$; 8 — J_- , 90 В, $E \parallel b$. Спектры поглощения: 3 — $d=0.8$, 4 — $d=0.3 \mu\text{м}$.

в области частот 17 100, 18 300, 18 900 см⁻¹ изменяется пропорционально второй производной от ω , что указывает на явно выраженный характер ПЗ поглощения. Оцененная величина вклада ПЗ состояний в полосы поглощения 17 100 и 18 900 см⁻¹ составляла 0.4 и 0.2 соответственно.

В [10] представлены результаты модельных вычислений спектра ЭФ и ПЗ состояний для b - и a -поляризаций кристалла ПЦ в предположении, что ПЗ переходы заимствуют некоторую силу осциллятора у сильных S_1 и S_3 экситонных переходов и находятся во взаимодействии с внутримолекулярными $C-C$ колебаниями. Из этих расчетов следует, что энергия нижайшего ПЗ перехода расположена на 2430 см⁻¹ выше начала перехода в S_1 -состояние. В отличие от «традиционной» [13, 14] экситонной интерпретации спектров поглощения ПЦ получено, что наиболее интенсивные полосы спектра, расположенные выше 17 000 см⁻¹, определяются преимущественно ПЗ переходами. На рис. 2 вертикальными сплошными линиями нанесены рассчитанные [10] значения энергий и интенсивностей нижайших ЭФ и ПЗ переходов с их колебательными повторениями для

Таблица 1

Значения энергий чисто электронных и электронно-колебательных переходов в кристаллах пентацена, рассчитанные по методу молекулярных орбиталей для модели с 10 состояниями, при поляризации света параллельно (\parallel) и перпендикулярно (\perp) оси b кристалла; соответствующая сила осцилляторов перехода f и величина давыдовского расщепления Δ_D [13]

Молекулярный переход	Энергия перехода, см^{-1}	$\Delta_D, \text{см}^{-1}$	$f \parallel b$	$f \perp b$
I 0—0	15588	911	0.913	0.009
	16499		0.002	0.086
I 0—1	17917	193	0.128	0.001
	18110		0.001	0.030
I 0—2	19479	120	0.091	0.001
	19599		0.001	0.018
I 0—3	20998	66	0.056	0.001
	21064		0.000	0.009
I 0—4	22396	54	0.051	0.001
	22449		0.000	0.006
II 0—0	25560	2346	0.989	0.038
	27906		0.041	0.166
III 0—0	29962	8591	0.047	0.001
	38554		0.856	0.177

b -поляризации, а штриховыми линиями — для a -поляризации. Крестиками отмечены наиболее интенсивные ПЗ переходы.

В [11] представлены результаты расчета электростатической энергии E_e электрон-дырочной пары, т. е. энергии связи ПЗ экситона. Расчет проведен для пары, у которой один из зарядов находится в положении $(0,0,0)$ элементарной ячейки, а другой заряд, противоположного знака, расположен на расстоянии r от него, в одном из ближайших узлов кристаллической решетки. Значение энергии ПЗ перехода можно определить из выражения $E(\text{ПЗ}) = E_g - E_e$, где E_g — ширина энергетической щели между проводящими зонами для электрона и дырки; $E_e(r) = E_c(r) - W_g(r)$ — электростатическая энергия пары, отсчитанная относительно дна зоны проводимости; $E_c(r)$ — кулоновская энергия пары; $W_g(r)$ — энергия квадрупольного взаимодействия пары с окружением; $E_p(r) = P_{sh}(r) - P_e - P_h$ — энергия поляризации кристалла электрон-дырочной парой, отсчитанная относительно энергии поляризации зарядов, составляющих пару, когда они свободны. Энергия поляризации кристалла определялась методом самосогласованного расчета на основе преобразований Фурье мультипольных сумм. Данные расчета [11] значений E_e представлены в табл. 2.

Как следует из [10], наиболее интенсивные ПЗ переходы связаны с переносом заряда на ближайшие соседние молекулы. С ростом r интенсивность ПЗ переходов экспоненциально убывает [15]. Из рис. 2 видно, что в области ПЗ поглощения для a - и b -поляризаций спектра наблюдается интенсивная полоса $17\ 040 \text{ см}^{-1}$, которую можно отождествить с переносом заряда в $(1/2, \pm 1/2, 0)$ положение. Соответственно величина E_e , которая дает наилучшее согласие с экспериментом, будет равна $23\ 000 \text{ см}^{-1}$. Исходя из этой величины E_e , в табл. 2 представлены энергии ПЗ переходов. Данные по $E(\text{ПЗ})$ могут быть качественно, но не количественно описаны [16] кулоновским выражением вида

$$E_n(\text{ПЗ}) = E_g - \mu e^4 / 8 (\hbar \epsilon \epsilon_0 n)^2,$$

Таблица 2

Предполагаемые ПЗ переходы в плоскости ab кристалла пентацена

Координата межмолекулярного ПЗ перехода	Расстояние ПЗ перехода, нм	E_σ , см $^{-1}$ [“]	Энергия ПЗ перехода, см $^{-1}$
(0,0,0) — (1,0,0)	0.790	-3360	19640
(0,0,0) — (2,0,0)	1.580	-2000	21000
(0,0,0) — (0,1,0)	0.606	-5400	17600
(0,0,0) — (0,2,0)	1.212	-3080	19920
(0,0,0) — (0,0,1)	1.601	-2660	20340
(0,0,0) — (1/2, -1/2, 0)	0.480	-5990	17010
(0,0,0) — (1, -1, 0)	0.960	-3440	19560
(0,0,0) — (3/2, -3/2, 0)	1.440	-2250	20750
(0,0,0) — (2, -2, 0)	1.920	-1800	21200
(0,0,0) — (1/2, 1/2, 0)	0.515	-5910	17090
(0,0,0) — (1,1,0)	1.030	-3600	19400
(0,0,0) — (3/2, 3/2, 0)	1.545	-2120	20880
(0,0,0) — (2,2,0)	2.060	-1540	21460

где μ — эффективная масса электрон-дырочной пары; $\varepsilon\varepsilon_0$ — диэлектрическая постоянная; n — главное квантовое число, связанное с g .

Кроме давыдовского расщепления для ПЗ экситонов должно наблюдаться также расщепление, обусловленное переносом электрона или дырки в трансляционно-эквивалентные положения [11]. Как следует из табл. 2, с (0,1,0) и (1,0,0) переходами можно отождествить полосы 17 400 и 19 750 см $^{-1}$. Полоса 16 300 см $^{-1}$ не проявляется в спектрах электропоглощения [9], и поэтому можно считать, что примесь ПЗ экситонов в ней малая и она большей частью связана с колебательным повторением полосы 14 700 см $^{-1}$. Как в электропоглощении [9], так и в представленных спектрах поглощения можно выделить полосу 18 260 см $^{-1}$, которую нельзя однозначно представить как колебательное повторение (1/2, $\pm 1/2, 0$) или (0,1,0) переходов. Скорее всего она имеет другую природу, в частности как результат влияния на смешивание высоколежащих состояний, отличных от S_1 и S_3 . В интервале частот 18 500—22 000 см $^{-1}$ в спектрах поглощения наблюдается тонкая структура, которую можно связать с переносом заряда на удаленные молекулы ($n > 1$). Из результатов по низкотемпературной ФП видно, что именно в этой спектральной области наблюдается наибольший квантовый выход ФП.

Спектры поглощения тонкого кристалла ПЦ (рис. 1, 1 и рис. 2, 1, 2) вблизи длинноволнового края поглощения отличаются от спектров поглощения толстого, «свободно» закрепленного кристалла (рис. 1, 3 и рис. 2, 3, 4). При 4.2 К максимумы длинноволновых полос спектра, определяющие положение a - и b -экситонных зон для тонкого кристалла, находятся при 15 820 и 14 700 см $^{-1}$ соответственно (рис. 2, 1, 2). В спектре поглощения толстого кристалла наряду с указанными появляются новые, максимумы которых для a - и b -поляризаций находятся при 15 230 и 13 830 см $^{-1}$ (рис. 2, 3, 4). При измерениях в естественном свете максимум самой длинноволновой полосы спектра находится при 13 830 см $^{-1}$ (рис. 1, 3).

Наблюдаемые изменения в низкотемпературных спектрах поглощения толстого, «свободно» закрепленного и находящегося на оптическом контакте с кварцевой подложкой тонкого кристалла ПЦ можно связать со структурными превращениями, происходящими в них при низких температурах. Ранее [17, 18] при исследованиях спектров отражения и ФП [19] было установлено, что в кристаллах ПЦ при 170 и 60 К возможны структурные превращения. Это следовало из того, что при охлаждении кристаллов ниже 170 К в спектрах отражения, измеренных в поляризованном свете, наблюдалось скачкообразное смещение максимумов чисто электронных полос на 120 и 100 см $^{-1}$ для a - и b -поляризаций соответственно. Как отмечалось выше, подобные изменения наблюдаются и

в спектрах поглощения тонких пленок. Кроме того, при охлаждении «свободно» закрепленных кристаллов ниже 60 К в спектрах отражения и ФП наряду со старыми полосами в длинноволновой области спектра появлялись новые, менее интенсивные поляризованные полосы, по положению коррелирующие с максимумами длинноволновых полос в спектре поглощения толстых кристаллов при 4.2 К (рис. 1, 2). Таким образом, из спектров поглощения толстых кристаллов следует, что при 4.2 К в них проявляются две модификации ПЦ. В кристаллах, находящихся на оптическом контакте с кварцевой подложкой, эти превращения заторможены и ниже 170 К в спектрах поглощения проявляется преимущественно только одна модификация ПЦ.

Значительное смещение положения чисто электронных полос низкотемпературной модификации в спектрах поглощения толстых кристаллов можно связать с уменьшением межмолекулярного расстояния в областях фазовых превращений, которое приводит к росту дисперсионного и резонансного взаимодействий.

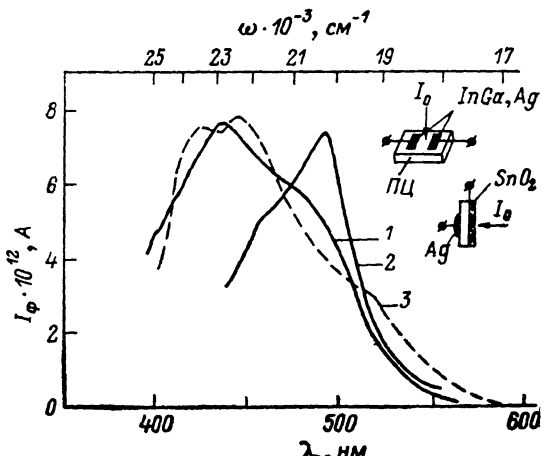


Рис. 4. Спектры возбуждения ФП при 4.2 К для ячеек 1—3.

1 — InGa—ПЦ—InGa, $F \perp c'$, $F = 10^4$ В/см, $d = 0.4$ мкм; 2 — Ag—ПЦ—Ag, $F \perp c'$, 10^4 В/см, 0.4 мкм; 3 — SnO_2 —ПЦ—Ag, J_{+} , $F \parallel c'$, $U = 300$ В, 1 мкм.

нанского взаимодействий. Как следует из эксперимента, для низкотемпературной модификации ПЦ дно экситонной *b*-зоны понижается на 870 см^{-1} , а для *a*-зоны — на 590 см^{-1} , что равносильно увеличению резонансного расщепления на 260 см^{-1} . Указанному изменению экситонных термов можно сопоставить и изменения энергии поляризации кристалла [19], примерно равные 2700 см^{-1} . Для низкотемпературной модификации ПЦ это дает понижение E_g до $20\ 300 \text{ см}^{-1}$. Такие изменения энергетических термов в областях фазовых превращений равносильны всестороннему сжатию кристалла до 6 кбар [20], что может происходить в местах дислокаций.

2) Фотопроводимость кристаллов ПЦ. Измерения спектров возбуждения ФП приведены в интервале температур 4.2—300 К при освещении кристаллов как естественным, так и поляризованным светом. Возбуждение кристаллов велось через монохроматор SPM-2. Спектральная ширина щели при измерениях спектров ФП изменялась в пределах 0.5—1 нм. Интенсивность возбуждающего света $I_0 = 10^{12} \div 10^{13}$ фотон/ $\text{см}^2 \cdot \text{с}$. Спектральное распределение ФП пересчитывалось на одинаковое число падающих фотонов. Для выяснения зависимости спектрального распределения ФП от направления электрического поля F использовались два типа измерительных ячеек (рис. 3—5) с $F \perp c'$ (электроды нанесены на одну из $\{ab\}$ плоскостей кристалла) и $F \parallel c'$ (электроды находятся на противоположных $\{ab\}$ плоскостях кристалла). В качестве электродов, обладающих различной инжеクционной способностью дырок, использовались InGa, Ag паста, SnO_2 , H_2O . Электроды из H_2O

и InGa обладали очень слабой инжекционной способностью и давали с ПЦ нейтральный контакт. Электроды из SnO_2 контактировали с ПЦ через тонкий ($d < 0.1$ мкм) заполимеризованный слой диэлектрика, что обеспечивало блокирующий контакт. Темновой ток J_t с этими электродами в пределах прикладываемых напряжений U был линеен ($J_t \sim U$). Электроды из Ag в интервале температур $T = 160 - 300$ К являлись хорошими инжекторами дырок. При положительном потенциале на них темновой ток $J_t \sim U^3$. Инжектируя в кристалл при $T > 160$ К значитель-

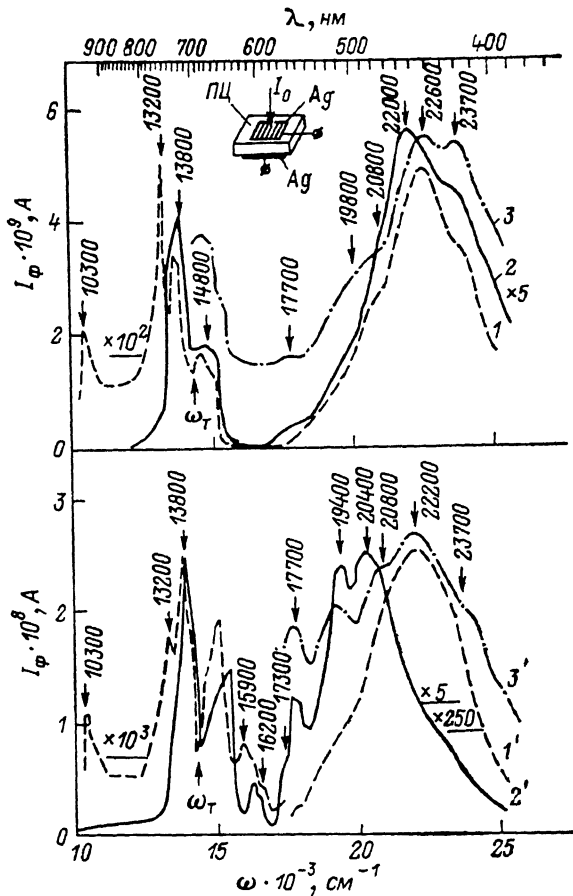


Рис. 5. Спектры возбуждения ФП для J_- (1—3) и J_+ (1'—3') кристаллов ПЦ при $T = 4.2$ (1, 1'), 50 (2, 2') и 77 К (3, 3').

Ячейка Ag—ПЦ—Ag, $F \parallel c'$, $d = 20$ мкм, $U = 150$ В.

ную концентрацию дырок, можно было исследовать влияние локальных электрических полей зарядов на смешивание ЭФ и ПЗ состояний по низкотемпературным спектрам ФП.

На рис. 3, 1, 2 приведены спектры возбуждения ФП монокристалла ПЦ толщиной 45 мкм с двумя нейтральными электродами из H_2O для $F \parallel c'$ при 300 К. Для сравнения на этом же рисунке приведены спектры поглощения (3, 4). Видно, что при $F < 10^4$ В/см фототок наблюдается только в спектральной области $\omega > 17000 \text{ см}^{-1}$, где преобладают собственные процессы фотогенерации НЗ с участием ПЗ состояний. Максимального значения ФП достигает в области зона-зонных переходов, что указывает на возможность смешивания ЭФ и зонных состояний, а также участие в ФП ПЗ состояний большого радиуса ($n > 1$, $r \geq 1.2$ нм). В области сильного ПЗ поглощения ФП слабая, что может быть обусловлено малым радиусом переноса ($r < 0.6$ нм) и большой энергией связи НЗ

в паре. Для $F < 10^4$ В/см спектры возбуждения фототока J_+ и J_- (рис. 3, 1), отвечающие положительному и отрицательному потенциалу на освещаемом электроде, подобны. С ростом поля ($F > 10^4$ В/см) длинноволновый край полосы спектра J_+ (кривая 2) несколько смещается и появляется слабая ФП при $\omega < 17\ 000\ \text{см}^{-1}$.

При замене в исследуемой ячейке тылового H_2O электрода на хорошо инжектирующий дырки Ag электрод в области сильного поглощения (кривые 5–8) появляется значительная ФП, обусловленная появлением в кристалле несобственных НЗ. Спектры J_+ (кривые 5, 6) для a - и b -поляризаций в области сильного ЭФ поглощения коррелируют со спектром поглощения, что может быть обусловлено процессами взаимодействия ЭФ с локализованными на поверхности вблизи H_2O электрода дырками. Интенсивные полосы 17 200, 17 300 и 18 500 см^{-1} (можно предположить) определяются процессами взаимодействия возбужденных ПЗ состояний с локализованными НЗ. Для $\omega > 19\ 000\ \text{см}^{-1}$ спектры J_+ и J_- при замене тылового H_2O электрода на Ag не претерпевают существенных изменений, а наблюдается лишь некоторое перераспределение интенсивности полос. Наиболее интенсивные полосы 13 420 и 13 070 см^{-1} спектра J_- (рис. 3, 7, 8) можно связать с процессами взаимодействия ЭФ с дырками, локализованными на структурных дефектах и остаточных областях низкотемпературной модификации ПЗ.

На рис. 4, 1, 2 приведены спектры возбуждения ФП кристаллов с нейтральными и инжектирующими электродами при 4.2 К для $F \perp c'$. Для ячейки InGa–ПЗ–InGa, так же как и для ячейки с двумя нейтральными H_2O электродами, фототок при полях $F \leqslant 10^4$ В/см (кривая 1) наблюдается только в области частот $\omega > 17\ 000\ \text{см}^{-1}$. В спектре выделяются интенсивная полоса 22 700 и плечо при 20 600 см^{-1} . В интервале температур 4.2–300 К форма спектра не претерпевает существенных изменений. Для кристаллов ПЗ ($d=0.4\ \text{мкм}$) с двумя инжектирующими Ag электродами, также нанесенными на одну из $\{ab\}$ плоскостей (кривая 2), в спектре ФП выделяется полоса 20 200 см^{-1} . В случае ячейки SnO_2 –ПЗ–Ag, когда $F \parallel c'$ и равно $3 \cdot 10^6$ В/см, при освещении со стороны блокирующего SnO_2 электрода в спектре ФП можно выделить полосы с максимумами при 19 200, 22 500, 23 500 и 25 300 см^{-1} (кривая 3). Вид спектра при указанных полях не зависел от полярности приложенного напряжения, что можно считать одним из критериев собственных процессов фотогенерации. Видно, что для ячейки с $F \parallel c'$ спектр ФП в области частот $\omega > 22\ 000\ \text{см}^{-1}$ более структурный, чем для ячейки с $F \perp c'$, что можно объяснить триклинистостью кристалла ПЗ и возможностью возбуждения ПЗ состояний в направлении $(0, 0, 1)$ в первом случае. Во всех ячейках при 4.2 К максимального значения ФП достигает в области зонационных переходов и возбуждения ПЗ состояний с $n > 1$.

Исследование температурной зависимости ФП для ячеек с двумя нейтральными электродами показало, что она имеет активационный характер. Энергия активации E_ϕ в интервале температур 160–300 К с ростом энергии возбуждающих фотонов немонотонно уменьшается. В интервале частот 20 000–24 000 см^{-1} она постоянна и равна 800 см^{-1} . При понижении температуры до 30 К E_ϕ уменьшается до 50 см^{-1} . Поскольку $E_\phi = E - E$ (ПЗ), то ее малые значения означают, что фотогенерация НЗ идет через ПЗ состояния достаточно большого радиуса с малой энергией связи.

На рис. 5 приведены спектры возбуждения J_+ и J_- при 4.2, 50 и 77 К для кристаллов с двумя Ag электродами. В интервале температур 4.2–30 К спектры собственной ФП J_+ и J_- подобны (кривые 1', 1). Как и в приведенных в работе выше спектрах ФП, обращает на себя внимание тот факт, что в области сильного ПЗ поглощения ($\omega=17\ 100\ \text{см}^{-1}$) фототок минимален. Низкую эффективность фотогенерации в этой спектральной области однозначно нельзя объяснить поверхностным тушением ПЗ экситонов, поскольку при близких коэффициентах поглощения ниже 17 000 см^{-1} в области ЭФ поглощения наблюдается большой фототок. Механизмы фотогенерации в области сильного ЭФ поглощения при низ-

ких температурах рассмотрены в [17, 18]. Скорее всего низкая эффективность фотогенерации в области нижайших ПЗ переходов обусловлена большой энергией связи НЗ в электрон-дырочной паре малого радиуса ($r \leq 0.6$ нм). Поскольку выше 17 000 см⁻¹ квантовая эффективность фотогенерации возрастает, то это означает, что, с одной стороны, отсутствует релаксация возбужденных состояний в нижайшее ПЗ состояние, а с другой стороны, в фотогенерации участвуют ПЗ состояния с меньшей энергией связи и большим r . Кроме того, независимость E_ϕ от ω в интервале 20 000–24 000 см⁻¹ означает, что имеется срелаксированное состояние, через которое с малой энергией активации происходит фотогенерация НЗ. С ростом температуры ($T > 30$ К) спектр J_+ (рис. 5, 2', 3') становится подобным b -компоненте спектра поглощения и более структурный, чем J_- (кривые 2, 3), что можно связать с подвижностью и захватом ПЗ экситонов локализованными дырками с последующим высвобождением их, а также влиянием локальных электрических полей дырок на смешивание ЭФ и ПЗ состояний. В спектре возбуждения ФП (кривые 2', 3') наблюдаются полосы 17 700, 19 400, 20 400 см⁻¹, которые можно связать с (0, 1, 0), (0, 2, 0), (1, ±1, 0), (0, ±1, 1), (1, 0, 0) ПЗ переходами.

Влияние локальных электрических полей на смешивание ЭФ и ПЗ состояний теоретически рассмотрено в работах [5, 6]. Было показано, что наиболее эффективно смешиваются ЭФ и ПЗ состояния с симметричными волновыми функциями $|\psi_s\rangle$ и $|\psi_a\rangle$ соответственно. Смешивание антисимметричных $|\psi_a\rangle$ и $|\psi_o\rangle$ состояний с другими малоэффективно, и они имеют природу чистых ЭФ и ПЗ состояний. Для модели с двумя ЭФ и ПЗ состояниями волновые функции смешанных состояний можно представить в следующем виде: $|\Phi_1\rangle = a |\psi_s\rangle - b |\psi_o\rangle$, $|\Phi_2\rangle = b |\psi_s\rangle + a |\psi_o\rangle$, $|\Phi_3\rangle = |\psi_o\rangle$, $|\Phi_4\rangle = |\psi_a\rangle$, где $a = \cos \beta/2$, $b = \sin \beta/2$ — коэффициенты смешивания; $\tan \beta = 2V/\Delta$; $\Delta = E(\text{ПЗ}) - E - X - W$, $V = \langle A^* B | \hat{H} | A^+ B^* \rangle$, $W = \langle A^* B | H | AB^* \rangle$ — матричные элементы переноса электрона и энергии возбуждения от молекулы A к молекуле B ; E — энергия возбуждения изолированной молекулы; $X = (e^2/\epsilon) (1/r_{AC} - 1/r_{BC})$ — энергия кулоновского взаимодействия ионов A^+ и B^- с локализованным на соседней к ним молекуле C зарядом. Под воздействием электрического поля зазор Δ между ЭФ и ПЗ состояниями уменьшается, и это приводит к росту смешивания состояний, увеличению интенсивности переходов в ПЗ состояния. Максимального значения смешивания ЭФ и ПЗ состояний можно достичь в условиях их вырождения.

Момент перехода из основного $|\Phi_g\rangle$ в возбужденное $|\Phi_2\rangle$ состояние обусловлен преимущественно примесью ЭФ состояния, поскольку $\langle \Phi_g | ex | \Phi_2 \rangle = \langle \Phi_g | ex | \psi_o \rangle$. Переход в $|\Phi_4\rangle$ состояние при однофотонном поглощении запрещен по симметрии. Интенсивность оптических переходов из $|\Phi_g\rangle$ в $|\Phi_1\rangle \div |\Phi_4\rangle$ состояния определяется из выражений $I_1 = a\mu_+^2$, $I_2 = b\mu_+^2$, $I_3 = \mu_-^2$, $I_4 = 0$, где μ_{\pm} — моменты перехода для b - и a -поляризаций молекулярного экситона.

На рис. 6 приведена энергетическая диаграмма, которая отражает процессы смешивания состояний во внешнем электрическом поле. Под воздействием электрического поля чисто экситонное состояние $|\psi_s\rangle$ (b -компоненты экситонного спектра поглощения) приобретает некоторый характер ионизированного $|\psi_o\rangle$ состояния и смешивается вниз (на диаграмме это $|\Phi_1\rangle$ состояние), что облегчает условия генерации свободных НЗ в электрическом поле, приводит к увеличению фототока и сигнала

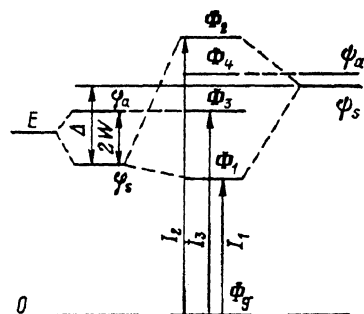


Рис. 6. Схематическое изображение процессов смешивания ЭФ и ПЗ состояний в кристаллах ПЦ.

электропоглощения в этой спектральной области. Состояние $|\psi_s\rangle$ приобретает некоторую примесь молекулярного возбуждения и вследствие этого становится оптически разрешенным (на диаграмме — это переход в $|\Phi_2\rangle$ состояние) с интенсивностью перехода, пропорциональной $\sin^2 \beta/2$. При оптическом возбуждении заселенность $|\Phi_2\rangle$ состояния существенно увеличивается, что определяет процессы фотогенерации НЗ в области собственного поглощения. Состояние $|\Phi_3\rangle$ (a -компоненты экспонентного спектра поглощения) и $|\Phi_4\rangle$, как отмечалось выше, из-за запретов по симметрии смешиваются с другими состояниями в меньшей мере.

Таким образом, наблюдение значительной ФП в области ПЗ переходов, не соответствующих ближайшим соседям и обладающих малым моментом перехода вследствие слабого перекрытия начального и конечного состояний, можно также связать с заимствованием интенсивности у сильных ПЗ и молекулярных переходов. Как следует из эксперимента (рис. 5, кривые 2', 3'), смешивание существенно возрастает во внешних электрических полях, создаваемых локализованными НЗ.

При рассмотрении смешанного состояния и его влияния на квантовую эффективность фотогенерации, очевидно, необходимо учитывать релаксационные процессы. Эффективность переноса электрона и его локализация на ближайшей молекуле определяются франк-кондоносским интегралом перекрытия и существенно зависят от того, насколько быстро взаимодействующая система выйдет из резонанса, т. е. в каком соотношении находятся между собой скорость перехода электрона K_{12} и скорости колебательной релаксации K_{1r}, K_{2r} для ЭФ и ПЗ состояний соответственно. Скорость перехода электрона K_{12} можно определить из выражения [21] $K_{12} = 4V/[1 + \Delta^2/4V^2]^{1/2}/\hbar$. В случае сильного взаимодействия между ЭФ и ПЗ состояниями ($K_{12} > K_{2r}$) электрон сильно осциллирует между взаимодействующими состояниями и смешанное состояние можно представить волновой функцией $|\Phi\rangle = a|\psi_s\rangle \pm b|\psi_s\rangle$, что соответствует образованию сильно связанных состояний малого радиуса. Естественно предположить, что такие состояния дают малый вклад в собственную ФП. Эффективному разделению зарядов способствует случай слабого взаимодействия ($K_{12} < K_{2r}$), когда взаимодействующие молекулы в кристалле можно рассматривать почти как изолированные. В предельном случае слабого взаимодействия вероятность перехода определяется как $p = 2\pi |V|^2 \rho / \hbar$, где ρ — уровень плотности в ПЗ состоянии. В этой связи можно отметить роль структурного фактора на разделение зарядов. В случае ПЦ оно будет эффективно между двумя $\{ab\}$ плоскостями, в пределах которых наблюдается значительное перекрытие π -орбиталей молекул и слабое между ними.

Список литературы

- [1] Onsager L. // J. Chem. Phys. 1934. V. 2. N 7. P. 599—615.
- [2] Onsager L. // Phys. Rev. 1938. V. 54. N 7. P. 554—557.
- [3] Поуп М., Свенберг Ч. Электронные процессы в органических кристаллах. М.: Мир, 1985. Т. 1. 543 с.
- [4] Поуп М., Свенберг Ч. Там же. Т. 2.
- [5] Petelenz R. // Chem. Phys. Lett. 1977. V. 47. N 3. P. 603—605.
- [6] Petelenz R., Petelenz B. // Phys. St. Sol. (b). 1977. V. 81. N 1. P. 49—56.
- [7] Колендицкий Д. Д., Курик М. В., Пирятинский Ю. П. // ЖЭТФ. 1978. Т. 74. № 4. С. 1264—1271.
- [8] Колендицкий Д. Д., Курик М. В., Пирятинский Ю. П. // УФЖ. 1979. Т. 24. № 11. С. 1662—1672.
- [9] Sebastian L., Weiser G., Bässler H. // Chem. Phys. 1981. V. 61. N 1. P. 125—135.
- [10] Siebrand W., Zgierski M. Organic molecular aggregates / Ed. Reineker P., Haken H. and. Wolf Y. C. Berlin, 1983. P. 136.
- [11] Bounds P. J., Siebrand W., Eisenstein I., Munn R. W., Petelenz P. // Chem. Phys. 1985. V. 95. N 2. P. 197—212.
- [12] Merrifield R. E. // J. Chem. Phys. 1961. V. 34. N 5. P. 1835—1839.
- [13] Schlosser D. W., Philpott M. R. // Chem. Phys. 1980. V. 49. N 2. P. 181—199.
- [14] Прихолько А. Ф., Скоробогатко А. Ф., Цикора Л. И. // Опт. и спектр. 1969. Т. 26. № 6. С. 966—977.
- [15] Silinsh E. A., Muzikante I. J., Balode D. R., Kolesnikov V. A. // Phys. St. Sol. (b). 1982. V. 113. N 1. P. 379—388.

- [16] Bounds P. J., Siebrand W. // Chem. Phys. Lett. 1980. V. 75. N 3. P. 414—418.
- [17] Жуков В. Д., Курик М. В., Пирятинский Ю. П., Цикора Л. И. // ФТТ. 1984. Т. 26, № 2. С. 601—603.
- [18] Пирятинский Ю. П., Жуков В. Д. // ФТТ. 1987. Т. 29. № 1. С. 122—129.
- [19] Силиныш Э. А. Электронные состояния органических молекулярных кристаллов. Рига: Зиннатне, 1978. 344 с.
- [20] Shirotani I., Kamura J., Inokuchi H. // Mol. Cryst. Liq. Crist. 1975. V. 28. N 1/2. P. 345—353.
- [21] Ратайчак Г., Орвилл—Томас. Молекулярные взаимодействия. М.: Мир, 1984. 598 с.

Институт физики АН УССР
Киев

Поступило в Редакцию
31 мая 1988 г.
В окончательной редакции
6 декабря 1988 г.
